

И. С. ТРЕВОГО

ЭКСПЕРИМЕНТАЛЬНЫЕ ИССЛЕДОВАНИЯ ПОГРЕШНОСТЕЙ СЪЕМКИ, ПРОЕКТИРОВАНИЯ, СТРОИТЕЛЬСТВА И МОНТАЖА ВЛ—110—400 кв

Топографо-геодезические изыскания, проектирование, строительство и монтаж проводов воздушных высоковольтных линий электропередач (ВЛ) неизбежно сопровождаются ошибками. Совокупность действия этих ошибок может привести к нежелательному нарушению габаритов проводов на трассе ВЛ, особенно в случае ее переходов. Поэтому при проектировании необходимо изменять установленный габарит на некоторую величину. Однако рекомендаций и обоснования для ее выбора соответствующие инструкции не дают.

В [3—6] нами теоретически исследованы погрешности съемки и проектирования переходов ВЛ, рассмотрены причины их возникновения и получена формула суммарной ошибки m_{h_2} для наиболее общего случая

$$m_{h_2}^2 = m_h^2 + m_{h_p}^2 + K_e m_l^2 + K_{l_x} m_{e_x}^2 + m_{h_t}^2 + m_{h_v}^2 + m_{h_1}^2. \quad (1)$$

В формулу (1) вошли средние квадратические ошибки за неточное определение отметок места установки опоры на профиле m_h и точки пересечения на проводе m_{h_p} , за погрешности измерений длины l пролета m_l и расстояния l_x от точки пересечения до опоры с большей высотой подвески провода m_{l_x} , за неточное определение температуры провода m_{h_t} за неточный учет влияния ветра m_{h_v} и гололеда m_{h_1} на провод в момент съемки. Коэффициенты K_l и K_{l_x} объединяют ряд характеристик.

Формула (1) без трех последних членов может быть использована для любого пролета ВЛ.

Для ошибок и коэффициентов, входящих в выражение (1), в [4] и [5] выведены формулы, но из-за их сложности они здесь не приводятся. В [6] представлена таблица предельных значений $M = 2m_{h_2}$, которые рекомендуется учитывать в габаритах переходов при проектировании. Величины M выбираются из таблицы по ряду аргументов и лежат в пределах $\pm 0,5$ — $0,7$ м. Однако при неблагоприятных условиях (при очень длинных пролетах и низкой точности линейных измерений, 1 : 300) допуск M может превосходить этот предел.

Погрешности, возникающие в процессе строительства и монтажа проводов ВЛ, целесообразнее исследовать эмпирическим путем. С этой целью, и для подтверждения формулы (1), в 1970—1972 гг. нами была выполнена съемка 27-ми больших переходов ВЛ — 110—400 кв в шести западных областях Украины. Полевые работы проводились по специально разработанной программе так, чтобы средняя квадратическая ошибка определения габарита или стрелы провеса провода была на порядок меньше величины M , то есть равна ± 5 — 6 см.

Съемка переходов производилась 30" теодолитом с двух станций при двух высотах инструмента. Все линии измерялись стальной лентой в прямом и обратном направлениях и дальномером. На каждом переходе на высоте 1,5—2 м над землей измерялись температура воздуха, скорость и направление ветра.

В результате обработки полевых измерений получены необходимые отметки точек перехода, а по ним и фактические габариты h_2^ϕ и стрелы провеса провода f_x^ϕ в месте пересечения.

Скорость ветра v_h на средней высоте пролета определялась по известной логарифмической формуле С. А. Сапожниковой [2] для приземного слоя воздуха. На некоторых переходах v_h оказалась значительной и пришлось ввести поправки на ветер ΔH_{P_v} в габариты и в стрелы пролета по формулам:

$$h_z = h_z^\phi - \Delta H_{P_v}, \quad f_x = f_x^\phi + \Delta H_{P_v}, \quad (2)$$

где [5]

$$\Delta H_{P_v} = (f_x^\phi \cos \varphi) - f_x^\phi - \Delta f, \quad (3)$$

а φ и Δf — угол отклонения провода от плоскости пролета и приращение стрелы провеса провода под действием ветра. Приращение Δf определяется из квадратного уравнения [5]

$$A\Delta f^2 - B\Delta f + C = 0. \quad (4)$$

В уравнении (4) A , B и C — коэффициенты, зависящие от l , l_x , φ , f_x и других параметров.

Поправки ΔH_{P_v} оказались невелики, а ошибки их определения m_{H_v} по формуле из [5] пренебрежимо малы ($m_{H_v} \leq 1 \text{ см}$).

Погрешность m_{h_t} за влияние ошибки определения температуры провода во время съемки m_t подсчитана по формуле [4]:

$$m_{h_t} = \frac{2Eam_t}{\{ql_x(l-l_x)(1:f_x^2) + 2,72Ef_x[1:l_x(l-l_x)]\}}, \quad (5)$$

где E — модуль упругости, a — температурный коэффициент, q — удельная нагрузка на провод от его веса.

Величину m_t найдем по формуле

$$m_t^2 = m_{t_1}^2 + m_{t_2}^2 + m_{t_3}^2 + m_{t_4}^2, \quad (6)$$

где m_{t_1} — ошибка отсчета по термометру, m_{t_2} — ошибка за неточность градиента температуры, m_{t_3} — ошибка за отличие температуры воздуха от температуры провода, m_{t_4} — ошибка за неравномерность температуры провода, вызываемую стрелой провеса.

Приняв реальные числовые значения этих ошибок, получим

$$m_t^2 = (0,3^\circ)^2 + (0,5^\circ)^2 + (1,0^\circ)^2 + (0,5^\circ)^2 = 1,54^\circ,$$

$$m_t = \pm 1,24^\circ.$$

С учетом m_t погрешность m_{h_t} для самого крупного перехода № 21 (см. таблицу) длиной в 460 м равна $\pm 0,05$ м. Для других переходов расчеты дали $m_{h_t} = \pm 3-4$ см.

Погрешность в превышениях точек перехода определим по формуле [4]

$$m_h^2 = \operatorname{tg}^2 \beta (m_{D_1}^2 + m_{D_2}^2) + \frac{m_\beta^2 D^2}{\rho^2 \cos^4 \beta}, \quad (7)$$

где β — угол наклона, m_{D_1} — ошибка проектирования точки провода на землю, m_{D_2} — ошибка измерения расстояния D от инструмента до точки проекции.

Для наиболее неблагоприятного случая при наибольших значениях $D=200$ м, $m_\beta=\pm 0,25'$, $m_{D_1}=\pm 10$ см (при снесении точек на землю теодолитом), $m_{D_2}=\pm 10$ см ($1:T=1:2000$), $\beta=10^\circ$ для точек на проводе и $\beta=5^\circ$ для точек на земле результаты вычислений по формуле (6) таковы:

- для точек на проводе $m_h=\pm 2,9$ см,
- для точек на земле $m_{h_0}=\pm 1,7$ см.

Учитывая, что съемка нами производилась с двух станций, ошибки m_h и m_{h_0} можно уменьшить в $\sqrt{2}$ раз. Тогда $m_h = \pm 2 \text{ см}$, $m_{h_0} = \pm 1,2 \text{ см}$.

Используя полученные ошибки, найдем погрешности определения высоты опоры m_{h_a} (m_{h_b}), стрелы провеса провода m_f и габарита перехода m_{h_2} :

$$m_{h_a}^2 = m_{h_b}^2 = m_h^2 + m_{h_0}^2 = 2^2 + 1,2^2 = \pm 2,3 \text{ см},$$

$$m_f^2 = 3m_h^2 + m_{h_t}^2 + m_{h_v}^2 = 3 \cdot 2^2 + 4^2 + 1^2 = \pm 5,4 \text{ см},$$

$$m_{h_2}^2 = 3m_h^2 + m_{h_0}^2 + m_{h_t}^2 + m_{h_v}^2 = 3 \cdot 2^2 + 1,2^2 + 4^2 + 1^2 = \pm 5,5 \text{ см}.$$

Таким образом необходимая точность измерений была практически достигнута.

Найдем теперь разности Δh_z , измеренных габаритов h_z с их теоретическими (проектными) значениями h_z^T . В проекте f_x^T и h_z^T даются для определенной температуры, которая обычно не совпадает с температурой при съемке. Для устранения этого разногласия значения f_x^T и h_z^T были вычислены вновь по известным формулам:

$$f_x^T = \frac{l_x(l - l_x)q}{2\sigma}, \quad (8)$$

$$h_z^T = H_B - (H_B - H_A) \frac{l_x}{l} - H_P - f_x^T. \quad (9)$$

В этих формулах σ — напряжение растяжения провода, которое выбиралось из монтажных таблиц проекта по температуре и длине пролета, либо находилось из решения уравнения состояния провода, H_B , H_A , H_P — отметки точек подвески провода на опорах и точки пересечения.

Разности $\Delta h_z = h_z - h_z^T$ можно сравнить с допусками M , если они не будут искажены погрешностями строительства. Поэтому вычисление f_x^T и h_z^T производилось по измеренным величинам l , l_x , H_A , H_B и H_P . Это позволило избежать влияния на Δh_z погрешностей строительства (за изменение длины пролета, за изменение высот подвески провода и за смещение пролета вдоль оси ВЛ). Кроме того, если на основе проектных данных вычислить значения f_x^T и h_z^T , то по разностям $\Delta h_z' = h_z - h_z^T$ можно судить о влиянии перечисленных ошибок строительства. Стрелы провеса f_x , f_x^T , f_x' , габариты h_z , h_z^T , h_z' , разности Δh_z , $\Delta h_z'$, допуски M и другие величины для 27 переходов ВЛ приведены в сводной таблице.

Как видно из таблицы, измеренные длины пролетов l и высоты опор h_a и h_b до точек подвеса провода отличаются от проектных l^T , h_a^T и h_b^T . Для большинства переходов расхождения невелики, но иногда они значительны. Например, для переходов № 2 и № 7 $\Delta l = l - l^T = 7,42 \text{ м}$ и $18,07 \text{ м}$, для переходов № 21 и № 24 $\Delta h_a = h_a - h_a^T$ достигает $+1,27 \text{ м}$ и $-0,64 \text{ м}$. Заметно различие между практической разностью высот точек подвеса проводов ΔH и проектной ΔH^T . Оно обусловлено величинами Δh_a и Δh_b и смещением пролета вдоль оси ВЛ. Суммарное действие всех этих отклонений выражается величиной Δh_e (см. таблицу), которая по существу характеризует влияние ошибок строительства на габарит перехода. Судя по знакам, погрешность Δh_e носит случайный характер. Ее значения лежат в области от $-1,33$ до $0,62 \text{ м}$. Одна-

Сводная таблица результатов

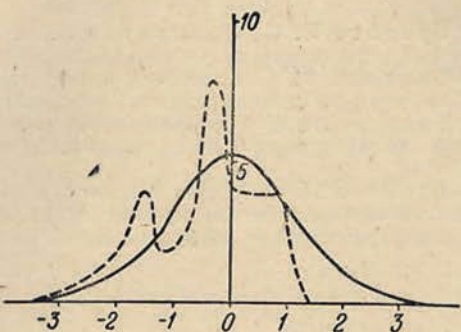
№ п.п.	На- прав- ление ВЛ, км	Марка проводы	Пролеты			Высоты опор			Стрелья провеса			Габариты			Разности			Вытяжка при про- водке, Δh_2°		Допус- ки, М		
			1	1T	h_a	h_a^T	h_b	h_b^T	f_x	f_x^T	f_x^r	h_2	h_2^T	h_2^r	$h_{\text{спон.}}$	h_2^r	ΔH	ΔH^T	Δh_2	Δh_2^r		
1	330	ACO-300	278,83	280	21,25	21,5	14,56	15,3	6,03	7,10	7,16	11,12	10,05	10,49	8,5	9,22	8,90	-1,07	-0,44	-0,43	-1,50	+0,55
2	330	ACO-300	336,19	335	28,63	28,2	13,93	15,3	10,66	9,63	9,56	10,75	11,78	11,88	8,5	8,49	7,30	+1,03	-0,10	-0,58	+0,45	+0,58
3	220	AC-400	379,92	375	22,34	22,3	22,71	22,3	11,42	10,88	10,61	7,53	7,57	7,23	8,5	3,88	2,30	+0,54	+0,34	-0,65	-0,11	0,59
4	220	AC-400	379,92	375	22,34	22,3	22,71	22,3	11,28	11,00	11,03	12,53	7,57	12,29	8,5	3,88	2,30	0	+0,34	-0,45	-0,45	0,59
5	220	AC-400	384,42	385	22,52	22,3	22,48	22,3	11,28	11,00	10,12	10,40	10,63	8,5	7,25	7,05	+0,28	-0,23	-0,66	-0,38	0,60	
6	220	AC-400	299,65	301	21,84	22,3	22,52	22,3	7,14	6,70	6,77	11,06	11,49	11,58	8,0	10,60	9,67	+0,44	-0,09	-0,40	+0,04	0,56
7	220	AC-400	428,07	410	22,43	22,3	22,52	22,3	12,70	12,44	10,92	11,62	11,88	13,41	8,5	3,12	2,52	+0,26	-1,33	-0,75	-0,75	0,60
8	330	ACO-300	276,84	275	15,00	15,3	15,19	15,3	4,90	4,59	4,52	11,38	11,69	11,93	8,5	0,34	0,90	+0,31	-0,24	-0,28	+0,03	0,54
9	330	ACO-300	216,38	215	15,01	15,3	14,72	15,3	3,21	3,30	3,24	11,30	11,71	11,71	8,5	7,31	6,90	-0,09	-0,50	-0,20	-0,29	0,52
10	330	ACO-300	309,28	310	14,89	15,3	14,89	15,3	6,73	5,85	5,88	9,43	10,29	10,69	8,5	1,20	1,00	+0,88	-0,38	-0,35	+0,53	0,57
11	110	AC-185	253,59	250	13,25	13,2	12,89	13,2	4,61	4,58	4,22	9,47	9,50	9,94	7,0	3,97	3,80	+0,03	-0,44	-0,32	-0,41	0,53
12	110	AC-185	180,16	179	14,20	13,7	14,67	14,2	2,11	2,87	2,81	11,34	10,58	11,12	7,0	2,03	2,40	-0,76	+0,42	-0,20	-0,96	0,52
13	110	AC-95	189,01	188	13,75	13,7	13,27	13,2	1,93	3,18	3,15	10,39	9,14	9,11	7,0	3,18	3,60	-1,15	+0,03	-0,22	-1,37	0,56
14	110	AC-185	294,10	290	17,73	17,7	17,91	17,7	4,85	6,62	6,33	13,31	11,54	11,42	7,0	0,04	0,10	-1,77	-0,12	-0,46	-2,23	0,57
15	110	AC-95	200,69	200	13,69	13,7	13,67	13,7	3,89	4,42	4,40	10,26	9,73	9,73	7,0	0,30	0,40	-0,53	0	-0,31	-0,84	0,58
16	110	AC-185	315,14	315	17,79	17,7	18,00	17,7	9,18	9,02	8,48	8,64	8,43	7,0	1,96	1,80	+0,16	+0,21	-0,63	-0,47	0,58	
17	110	AC-95	209,71	209	12,27	12,2	12,14	12,2	3,03	3,91	3,87	8,85	7,97	7,94	7,0	1,17	1,10	-0,88	+0,03	-0,27	-1,15	0,58
18	110	AC-185	234,05	235	13,18	13,2	13,35	13,2	5,54	5,07	5,12	7,30	7,77	7,73	7,0	1,32	0,80	+0,47	+0,05	-0,35	+0,12	0,55
19	110	AC-120	229,71	230	12,33	12,2	12,23	12,2	2,87	3,26	3,27	7,42	7,03	6,94	7,0	0,44	0,40	-0,39	+0,09	-0,23	-0,62	0,55
20	110	AC-120	148,86	150	12,02	11,77	12,2	12,02	1,72	1,72	1,72	8,04	8,32	7,0	3,78	2,80	+0,52	-0,28	-0,12	+0,40	0,52	
21	400	ACO-500	460,62	453	30,15	28,9	30,22	28,9	14,14	13,53	12,85	17,71	18,32	17,70	9,0	5,91	4,60	+0,61	+0,62	-0,81	-0,20	0,60
22	400	ACO-500	385,33	385	22,38	22,1	22,98	22,1	11,82	10,23	10,19	11,77	11,22	9,0	0,50	0,50	+1,58	+0,55	-0,61	+0,97	0,56	
23	400	ACO-400	350,54	350	22,87	21,4	22,86	21,4	6,88	6,63	6,61	15,19	15,34	14,86	9,0	0,14	0,10	+0,15	+0,48	-0,40	-0,25	0,56
24	220	AC-400	390,73	390	19,39	20,2	19,34	20,2	10,69	10,65	9,48	8,36	9,14	8,0	0,02	0,10	-1,12	-0,78	-0,64	-1,76	0,58	
25	220	AC-400	387,12	390	20,39	20,2	20,43	20,2	7,00	7,30	7,23	13,26	12,96	12,69	8,0	0,87	0,80	-0,30	+0,27	-0,44	-0,74	0,58
26	220	AC-500	393,95	393	20,31	20,2	20,39	20,2	9,39	9,35	10,34	10,22	8,0	0,70	0,77	-0,60	+0,12	-0,56	-1,16	0,58		
27	220	AC-500	315,45	320	19,73	19,5	19,73	19,7	10,14	8,75	9,12	9,66	11,05	10,63	8,0	3,97	4,40	+1,39	+0,42	-0,52	+0,77	0,55

Примечание. Величины в таблице приведены в м.

ко, если не принимать во внимание переходы № 7, № 21 и № 24 с наибольшими отклонениями от проекта, то Δh_z не превысит $\pm 0,5 \text{ м}$. Таким образом, погрешности строительства оказывают ощутимое влияние на габариты проводов ВЛ.

Рассмотрим приведенные в таблице разности Δh_z . Они довольно велики (от $-1,77$ до $+1,58 \text{ м}$), а предвычисленные допуски M равны $0,5$ — $0,6 \text{ м}$. Это несоответствие может быть объяснено лишь тем, что разности Δh_z вызываются не только ошибками съемки и проектирова-

ния, но и монтажных работ (неточное натяжение проводов). Кроме того, на величину Δh_z существенно влияет естественная вытяжка проводов в пролете.



ния, но и монтажных работ (неточное натяжение проводов). Кроме того, на величину Δh_z существенно влияет естественная вытяжка проводов в пролете.

Для строгого решения вопроса о разделении величины Δh_z на три составляющие необходимы дополнительные исследования, поэтому ограничимся анализом полученных разностей Δh_z .

Согласно рекомендациям Львовского ОКП Энергосетьпроекта, вытяжка проводов АС—95—240 составляет 7%, а проводов АСО—240—500 — 6% от стрелы провеса провода. Были рассчитаны и приведены в таблице вероятные вытяжки проводов ϕ для всех переходов. Так как ϕ оказывает одностороннее воздействие на провод, то ее легко исключить из разностей Δh_z . Полученные остатки Δh_z^0 оказались в области от $-2,23$ до $+0,97 \text{ м}$, причем в 19 случаях из 27 с минусом, что говорит о систематическом влиянии. Общая арифметическая середина Δh_z^0 равна $-0,43 \text{ м}$. Судя по знаку, имеет место перетяжка проводов при их монтаже.

К такому же выводу приходим и на основе статистической обработки величин Δh_z^0 . На рисунке, где построены кривые эмпирического и нормального распределений разностей Δh_z^0 , заметно выражена асимметрия рассматриваемого ряда распределения, указывающая на присутствие в результатах измерений односторонне действующих ошибок. Показатель асимметрии, вычисленный по формуле [1]

$$S = \frac{\mu_3}{\sigma_0^3},$$

равен $-1,45$ и превышает утроенное среднеквадратическое отклонение показателя асимметрии ($3\sigma_s = \pm 1,41$). Эксцесс, вычисленный по формуле [1]

$$E = \frac{\mu_4}{\mu_2^2} - 3,$$

оказался небольшим ($E = -0,03$), тогда как $\sigma_E = \pm 0,94$.

Данное распределение отличается от нормального, так как $|S| > 3\sigma_s$. Применяя критерий согласия Колмогорова $K(\lambda)$, имеем $1 - K(\lambda) =$

=0,91 242. Это значение не соответствует принятому пятипроцентному уровню значимости, следовательно наблюденный ряд распределения плохо согласуется с нормальным распределением.

ЛИТЕРАТУРА

1. Митропольский А. К. Техника статистических вычислений. М., «Наука», 1971.
2. Сапожникова С. А. Микроклимат и местный климат. Л., Гидрометеоиздат, 1950.
3. Тревого И. С., Золотарев А. А. О статье Г. П. Хохлова «Съемка габаритов ВЛ фотоаппаратом». — «Электрические станции», 1973, № 3.
4. Тревого И. С. К вопросу оценки точности съемки и проектирования переходов ВЛ через воздушные трассы. — «Инженерная геодезия», 1971, вып. 9.
5. Тревого И. С. Поправки за действие ветра и обледенения при съемке пересечений проектируемой ВЛ с воздушными трассами. — «Инженерная геодезия», 1972, вып. 10.
6. Тревого И. С. Расчет поправок в габариты при съемке и проектировании переходов воздушных высоковольтных линий электропередачи. — «Геодезия, картография и аэрофотосъемка», 1972, вып. 15.

Работа поступила в редакцию 11 мая 1973 года. Рекомендована кафедрой геодезии Львовского политехнического института.